

See discussions, stats, and author profiles for this publication at: <https://www.researchgate.net/publication/321397928>

# EMI/TERMALNI DIZAJN PREKIDAČKIH NAPOJNIH UREĐAJA

Article · January 2013

---

CITATIONS

0

READS

4

3 authors, including:



Vladimir Sinik

University of Novi Sad

32 PUBLICATIONS 41 CITATIONS

[SEE PROFILE](#)



Dr Zeljko V Despotovic

Mihajlo Pupin Institute

344 PUBLICATIONS 326 CITATIONS

[SEE PROFILE](#)

Some of the authors of this publication are also working on these related projects:



Hydraulic Vibration Platform [View project](#)



ALGORITMI ZA UVEĆANJE ENERGETSKE EFIKASNOSTI VETROGENERATORA [View project](#)

## EMI/TERMALNI DIZAJN PREKIDAČKIH NAPOJNIH UREĐAJA

**Vladimir Šinik<sup>1</sup>, Željko Despotović<sup>2</sup>, Momčilo Bjelica<sup>1</sup>,**

<sup>1</sup>Tehnički fakultet "Mihajlo Pupin", Zrenjanin, Republika Srbija

<sup>2</sup>Institut „Mihajlo Pupin“ Beograd, Srbija

**Sažetak:** U radu se analiziraju kompromisi između zahteva po pitanju elektromagnetske kompatibilnosti prekidačkih napojnih uređaja i njihovih temperaturnih karakteristika. Date su kritične trase za elektromagnete smetnje i elemente koji se najviše greju. Analizirane su tri različita razmeštaja komponenti za traženje kompromisa. Tri različite šeme motanja induktora ispitivane sa gledišta toplota/elektromagnete smetnje. Na ovaj način se mogu dobiti dodatne informacije u fazi projektovanja što značajno smanjuje vreme projektovanja i znatno olakšava optimizaciju projekta.

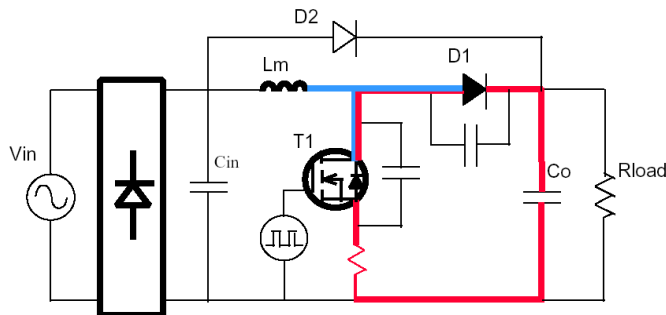
### 1. UVOD

Mnoga pitanja u projektovanju izvora napajanja, kao što su topologija snažnih kola, modelovanje upravljanja, strategije mekog prekidanja i optimizacija magnetnih komponenata su intenzivno razmatrana u poslednje vreme. Međutim, dva glavna pitanja, kontrola elektromagnetičnih smetnji (EMI) i upravljanje toplotom su daleko od toga da su adekvatno rešena. Za sada se u praksi primenjuje metoda uradi pa probaj (*cut – and – try*). I elektromagnete smetnje i toplotne performanse izvora napajanja se obično testiraju po izvršenoj fizičkoj realizaciji. S obzirom da su obadva pitanja tesno povezana sa razmeštajem na štampanim kolima i pakovanjem, neophodno je dugo vreme za dopunsko projektovanja ukoliko se utvrdi da je potrebna korekcija.

Osnovni cilj ovog segmenta jesu rezultati jednog malog iskoraka u tretiranju ovih pitanja. I provodne elektromagnete smetnje (zračne nisu razmatrane) i toplotna pitanja se razmatraju u fazi razmeštaja komponenata po štampanim pločicama. U radu [1], pristup je zasnovan na primeni simulacionih alata uključujući i programsku podršku (softver) za ekstrakciju parametara i alata za simulaciju kola i programske podrške (softver) za toplotnu analizu [2]. Za ovu analizu primenjeno je konvertorsko kolo podizača napona (boost) za korekciju faktora snage. U radu [1] su dati primeri za kompromisne performanse između različitih razmeštaja komponenata. Pored toga, prikazano je i istraživanje kompromisa u projektovanju planarne induktivnosti, kako sa gledišta elektromagnetičnih smetnji tako i sa gledišta upravljanja toplotom.

### 2. KOMPROMISI IZMEĐU EMI I TERMALNIH PERFORMANSI

Razmeštaj i položaji komponenata utiču kako na elektromagnete smetnje tako i na toplotne performanse. Uopšte, komponente se postavljaju dovoljno daleko da bi se minimiziralo dejstvo vrućih tačaka. Međutim, ovaj zahtev je često u suprotnosti sa zahtevom za smanjenje elektromagnetičnih smetnji. Na elektromagnete smetnje utiču dva kritična razmatranja razmeštaja. Jedno je visokofrekventna strujna petlja (petlja sa velikim  $di/dt$ ) i drugo je površina provodne trase visoko frekventnog naponskog čvora (trase sa velikim  $dv/dt$ ). Slika 1 prikazuje PFC kolo, kritičnu  $di/dt$  petlju i kritične  $dv/dt$  čvorove u kolu i elemente koji se najviše greju.



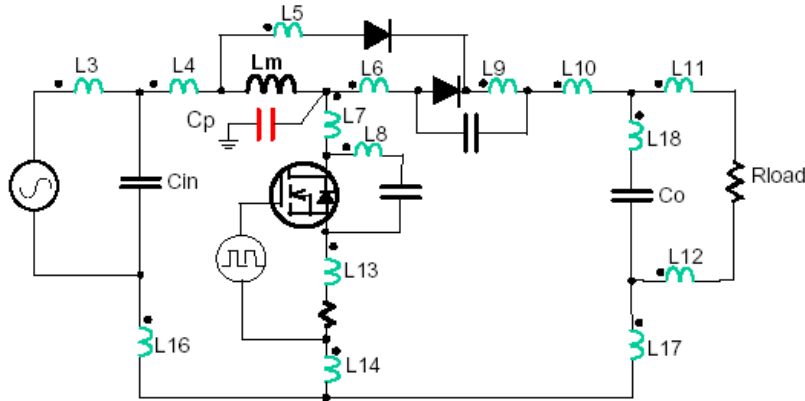
Sl. 1 – Kritične trase za elektromagnete smetnje i elemente koji se najviše greju [1]

#### 2.1 Kompromis između performansi tri razmeštaja

Tri razmeštaja su prikazana na slici 4(a – c), sa razmeštajem na levoj i temperaturnim profilom na desnoj strani. Petlja sa velikim  $di/dt$  je prikazana na slici sa isprekidanim linijom, dok su kritične  $dv/dt$  trase prikazane zatamnjeno.

U [2], svaki od tri razmeštaja je detaljno ispitivan radi poređenja elektromagnetičnih smetnji i toplotnih performansi. Programska podrška za ekstrakciju InCa je primenjena za ekstrakciju parazitnih induktivnosti i kapacitivnosti vezanih za svaki od razmeštaja.

Slika 2 prikazuje jedan primer kompletног kola, uključujući i parazitne komponente usled razmeštaja koje je potrebno simulirati.



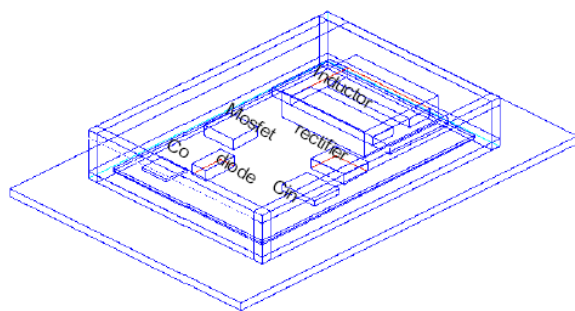
Sl. 2 – Kompletно kolo za simulacije elektromagnetičnih smetnji za boost PFC-a [1]

U radu [1], je koristeći podatke o gubicima snage u komponentama dobijene simulacijom, izgrađen topotni model radi dobijanja temperaturnog profila. Tabela 1 sumira gubitke snage u glavnim komponentama, uzeti iz [1]. Za svaku od snažnih komponenata prepostavljena je uniformna temperatura tela, a podaci o gubicima snage su primenjeni kao izvori topote za potrebe Flotherm simulacije.

Tabela 1 – Gubici snage na komponentama [1, 2].

Komponenta	Deo/vrednost	Pakovanje	Gubitak
MOSFET	IRF740	D2 pakovanje	0,58(W)
Dioda	1N4937	SOD-84	0,19(W)
Ispрављач	DF06	DIP4	0,86(W)
Induktor	700(μH)	planarni	0,74(W)
$C_o$	22,0(μF)	Keramički	0,1(W)

Slika 3 prikazuje jedan primer topotnog modela primenjenog za simulaciju na nivou štampane ploče, pri čemu su izvori topote i granični uslovi tako usklađeni.

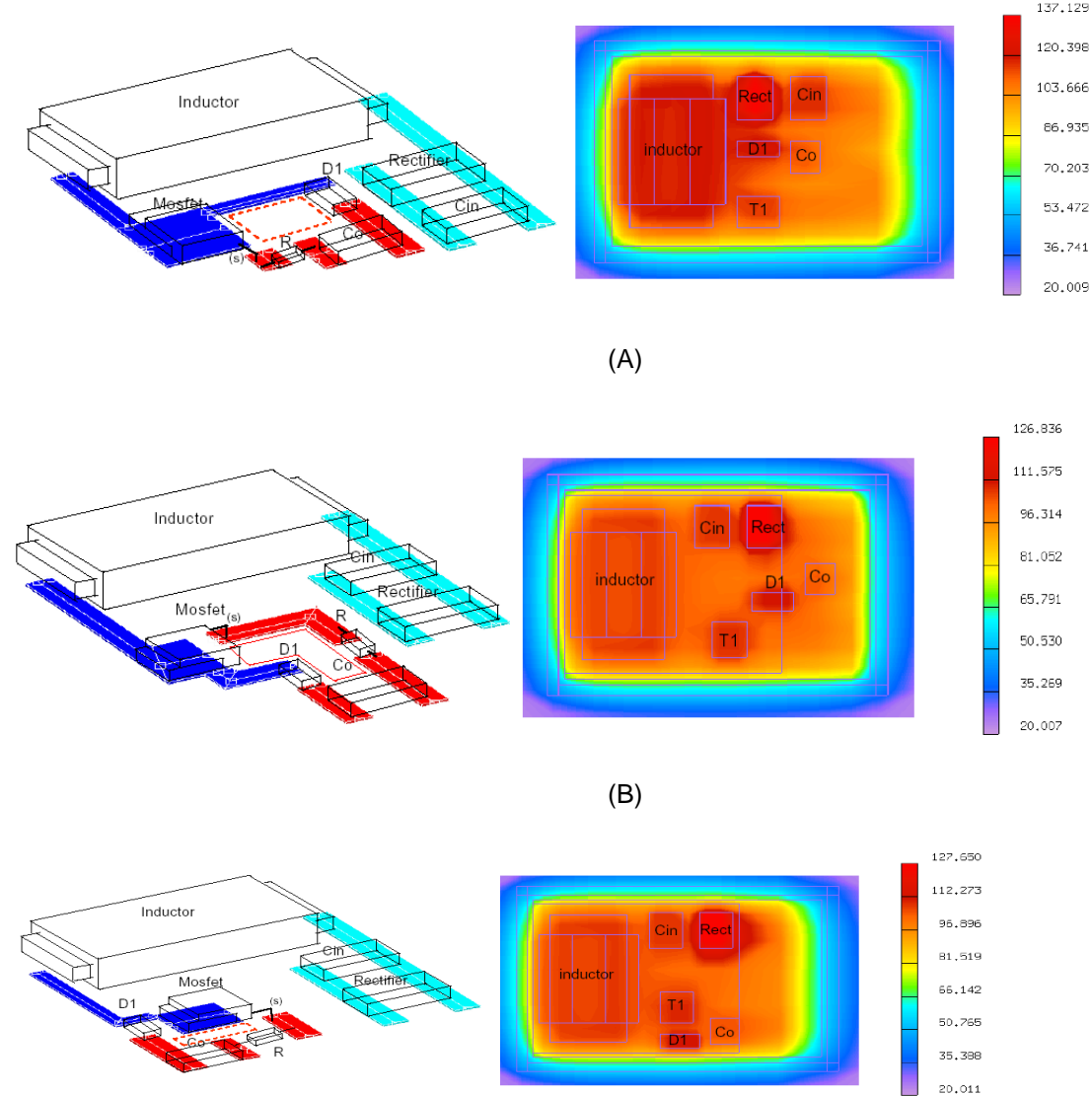


Sl. 3 – Flotherm topotni model za boost PFC kolo [1, 2]

Slika 4 prikazuje rezultate elektromagnetičnih smetnji i temperaturnih profila za sva tri razmeštaja. Radi utvrđivanja temperature unutar komponenata snage kao što je induktor, potrebna je simulacija na nivou komponenata.

## 2.2 Upoređenje tri razmeštaja

Iz tabele 1 se može videti da glavni gubici u kolu potiču od četiri komponente: induktora, MOSFET-a, diode D1 i ispravljačkog mosta. Kao što se može videti sa slike 4, slučaj (A), sve ove disipativne komponente su postavljene blizu jedna drugoj što rezultuje visoku površinsku temperaturu, kao što je prikazano na slici 5.b.



Sl. 4 – Tri različita razmeštaja za traženje kompromisa [1]

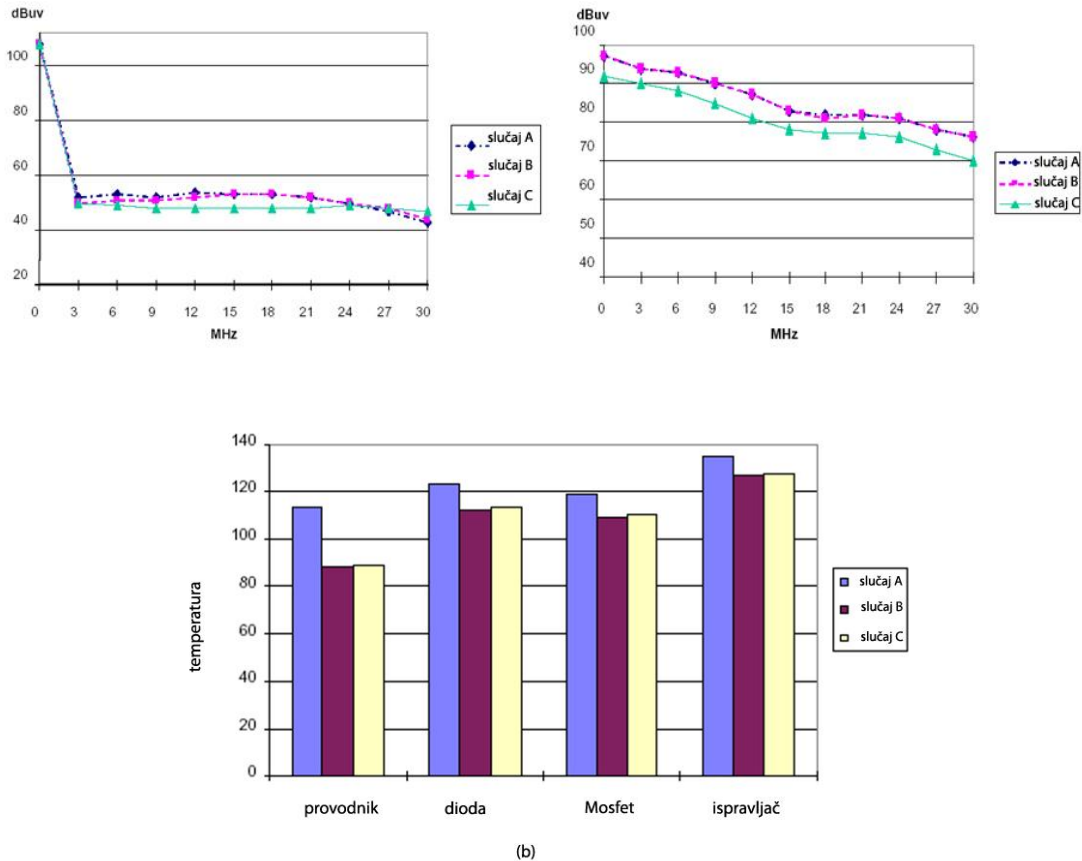
U sva tri slučaja postoji aluminijumska šasija (nije prikazana)

Slučaj (A): Sve komponente su blizu jedna drugoj, velika  $dv/dt$  trasa i velika  $di/dt$  petlja, nema termo – provodnog materijala između induktora i kućišta

Slučaj (B): Komponente sa gubicima snage raspoređene su po većem prostoru, termo – provodni materijal je ubaćen između induktora i kućišta, velika  $dv/dt$  trasa i velika  $di/dt$  petlja

Slučaj (C): Veći izvori topote postavljeni su uzajamno daleko, provodne trase su optimizovane da se minimizira trasa  $dv/dt$  i površina  $di/dt$  petlje, termo – provodni materijal je ubaćen između induktora i kućišta

Međutim, razmeštaj je takav da trase sa velikim  $dv/dt$  i petlja sa velikim  $di/dt$  zahvataju veliku površinu što je nepovoljno sa stanovišta elektromagnetskih smetnji. Uopšte govoreći, velike površine sa velikim  $dv/dt$  doprinose povećanju CM (common – mode) elektromagnetskih smetnji, a velike petlje sa visokim  $di/dt$  doprinose visokim DM (differential – mode) šumovima. Slika 5.a prikazuje elektromagnetske smetnje. U slučaju razmeštaja (B), četiri komponente sa značajnim gubicima su postavljene na širem prostoru i termo – provodni materijal je ubaćen između induktora i kućišta radi trošenja topote. Temperatura svake od komponenata je značajno opala, kao što je prikazano na slici 5. b.



Sl. 5 – (a) Prognozirani spektar DM i CM smetnji, (b) Prognozirani porasti temperatura komponenti [1]

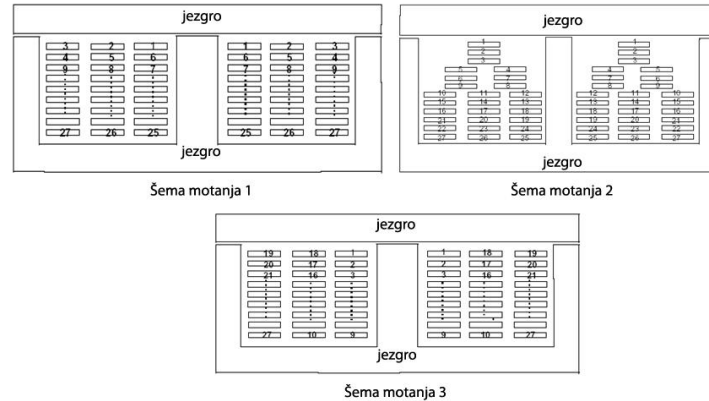
Međutim, provodna trasa je postavljena tako da elektromagnetne smetnje nisu mnogo povoljnije u odnosu na slučaj (A). U slučaju (C), razmeštaj je takav da su veći izvori topote postavljeni uzajamno daleko (takođe sa termo – provodnim materijalom), a provodna trasa je optimizovana tako da se ostvari relativno dobar rezultat i za elektromagnetne smetnje i za porast temperature. Ovaj primer pokazuje kako se može primeniti simulacija za optimizaciju razmeštaja u fazi rešavanja pitanja razmeštaja.

### 2.3 Efekat načina motanja induktora

Planarni induktor primjenjen u kolu je planarno E – I jezgro sa višeslojnom fleksibilnom strukturom. Šema (način) motanja induktora utiče na gubitke u bakru i, shodno tome, na temperaturni profil namotaja. Način motanja takođe utiče na kapacitivnost namotaja  $C_w$ , dakle, utiče na elektromagnetne smetnje.

U radu [2] ispitivane su tri šeme motanja i u ovom delu se prikazuju dobijeni rezultati.

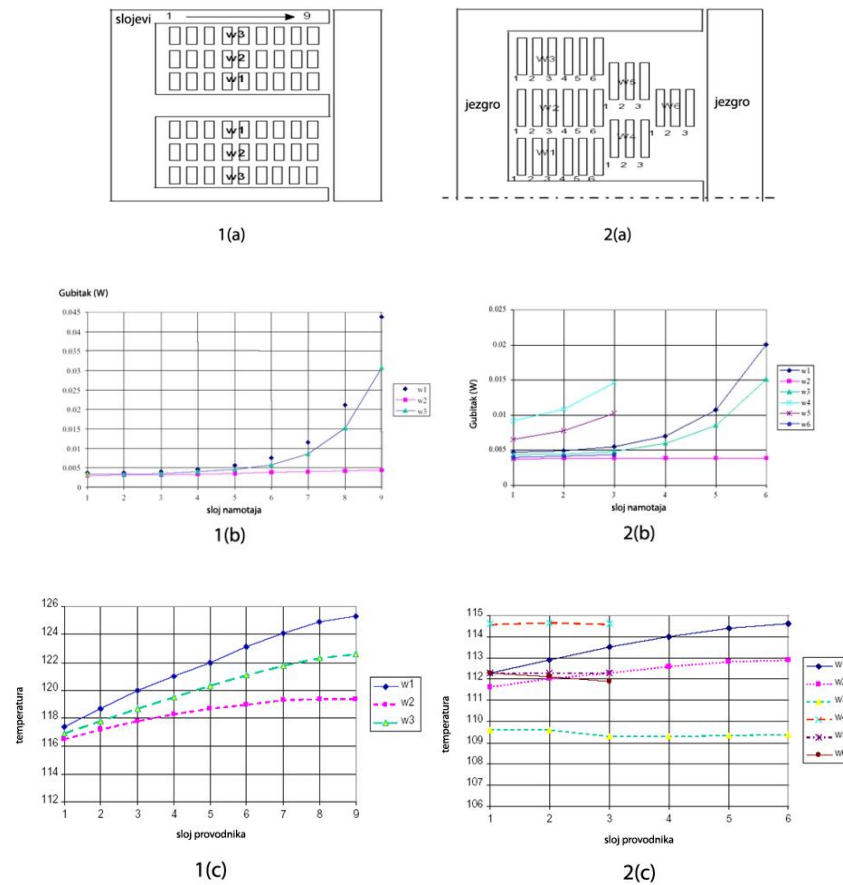
Slika 6 prikazuje tri šeme motanja. Brojevi naznačeni na namotajima na slici označavaju sekvensu u motanju, na pr. broj «1» znači prvi zavojak, «2» drugi zavojak, i tako redom. Svaka od ovih šema je analizirana sa gledišta toplota/elektromagnetne smetnje.



Sl. 6 – Tri različite šeme motanja ispitivane sa gledišta toplota/elektromagnetne smetnje [2]

U radu [2], gubici u bakru namotaja su dobijeni primenom programske podrške za konačne elemente (*Ansoft Maxwell Field Solver* [3]). Rezultati su prikazani na slikama 7 1(b) i 2(b) za šeme broj 1 i 2, respektivno. Na slici su potrebna dva broja da identifikuju matricu provodnika. Na primer, za provodnik w3 i sloj broj 9 u šemi broj 1 (videti sliku 6 1(a)), gubitak snage je  $0,03\text{W}/\text{m}$  prema slici 7 1(b). Kao što se može videti sa slike, u provodnicima blizu procepa u jezgru su izraženi veći gubici usled ivičnog fluksa. U šemi broj 2 namotaj je namerno držan dalje od dva procepa radi smanjenja gubitaka.

U radu [2], je tokom toplotnih simulacija, za fizički 3-D model je применена *Flotherm* simulacija. U modelu su применени podaci o gubicima u bakru namotaja, prikazani na slikama 7.1(b) i 2(b), i podaci o gubicima u jezgru dobijeni od strane proizvođača. Radi uprošćenja proračuna uvedena je prepostavka da svaki provodnik i jedan izolacioni sloj čine uniformno toplotno telo.

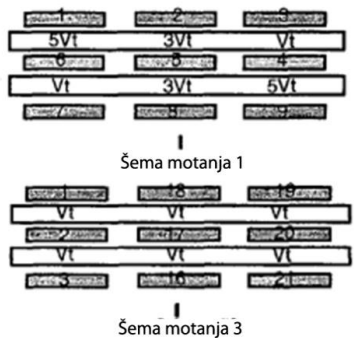


Sl. 7 – Gubici u namotaju induktora i temperaturni profili za tri šeme motanja, (a) grupisanje provodnika radi toplotne simulacije (b) provodni gubici (c) temperaturni profili namotaja [1, 2]

Temperaturni profil za obe šeme je dat na slikama 7 1(c) i 2(c). Može se videti da je temperatura vruće tačke za šemu 2 manja za  $10^{\circ}\text{C}$ .

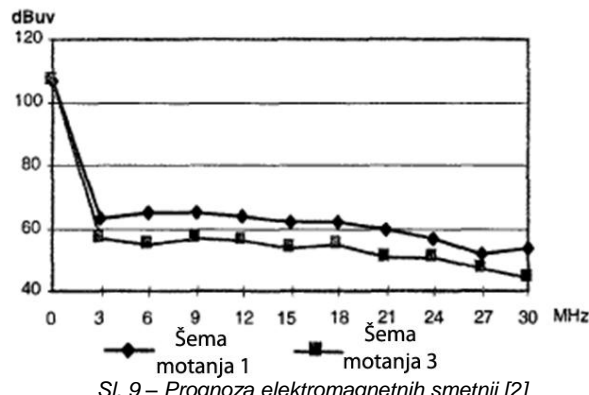
#### 2.4. Elektromagnetski efekti

Kada se menja konfiguracija namotaja, menja se i raspodela napona između susednih provodnika što podrazumeva da se i ukupna kapacitivna energija uskladištena u namotaju menja. Analiza šema 1 i 3 dovodi do značajne razlike u efektivnim parazitnim kapacitivnostima namotaja (16 pF naspram 1,4 pF). Ovo potiče od različitih raspodela napona u namotajima za ova dva slučaja. Slika 8 prikazuje raspodelu napona u namotaju za ova dva slučaja. Na slici  $V_t$  je pad napona po navojku. Kao što se može videti, u šemi 3 napon između svaka dva susedna namotaja (vertikalno) je  $V_t$ , dok za šemu 1 ovaj napon varira između  $V_t$  i  $5V_t$ . Rezultat je da je kapacitivna energija uskladištena između bakra broj 1 i broj 6 manja kod šeme 3 što rezultuje u manju ukupnu efektivnu parazitnu kapacitivnost za šemu 3.



Sl.8 – Raspodela napona za šeme 1 i 3 [2]

Primena različitih parazitnih kapacitivnosti kod elektromagnetskih simulacija dovodi do različitih elektromagnetskih rezultata kao što je prikazano na slici 9 [2]. Za šemu 2 nisu rađene simulacije, ali rezultati treba da su vrlo blizu onih dobijenih za šemu 1.



Sl. 9 – Prognoza elektromagnetskih smetnji [2]

Tabela 2 sumira rezultate za sva tri slučaja u pogledu gubitaka u namotaju, temperature, proračunate kapacitivnosti namotaja i stvarne eksperimentalne vrednosti kapacitivnosti.

Tabela 2 – Elektromagnetske smetnje/toplota za šeme 1 i 3 [2]

	visina namotaja	gubici u namotaju	maksimalna temperatura	proračunat Cp namotaja	mereno Cp namotaja
Šema 1	1,572(mm)	0,462(W)	124 °C	16(pF)	18,66(pF)
Šema 2	2,09 (mm)	0,374(W)	116 °C	12(pF)	15,8(pF)
Šema 3	1,572 (mm)	0,462(W)	124 °C	1,4(pF)	/

### 3. ZAKLJUČAK

Za tretiranje problema koji se odnose na elektromagnetne smetnje, termalne zahteve i poboljšanje pouzdanosti kola, potrebno je razviti metodologiju za integraciju elektromagnetnih smetnji i termalne analize pri projektovanju konvertora korišćenjem alata iz oblasti projektovanja uz pomoć računara. Uz korišćenje odgovarajućih alata, može se istraživati interakcija između elektromagnetnih smetnji i termalnih zahteva. Korišćenjem odgovarajućih alata, nekoliko verzija rasporeda (podaci iz literature) u kolu je izračunavano kako sa gledišta elektromagnetnih smetnji tako i sa termalnih gledišta. Izračunato je nekoliko verzija planarnog induktora sa tačke gledišta električnih zahteva, termalnih zahteva i zahteva za elektromagnetne smetnje. Kroz ova izračunavanja se može dobiti puno informacija o unutrašnjim detaljima. Kompromisi između razmeštaja na štampanoj ploči i magnetnog proračuna se moraju razmatrati sa stanovišta elektromagnetnih smetnji i sa stanovišta topote. Koristeći ovu metodologiju mogu se kvantitativno prognozirati spektar elektromagnetnih smetnji i vruće tačke u kolu za različite šeme motanja magnetskih komponenata. Na ovaj način se mogu dobiti dodatne informacije u fazi projektovanja što značajno smanjuje vreme projektovanja i znatno olakšava optimizaciju projekta.

### 4. LITERATURA

- [1] Wei Zhang, Fred C. Lee and Dan Y. Chen, Integrated EMI/Thermal Design for Switching Power Supplies, Virginia Polytechnic Institute & State University Blacksburg, VA, USA, 2001
- [2] W. Zhang, M. Zhang and F. Lee, "Conducted EM1 analysis of a boost PFC converter." *IEEEAPEC. Proc.*, 1997, pp. 223-229
- [3] M. Janicki, A. Napieralski; Temperature Monitoring of Electronic Circuits Based on Analytical Thermal Model; *Proc. of 22nd International Conference on Microelectronics MIEL 2000*, Vol. 2, pp. 581-585, Niš, Serbia, 14-17 May, 2000
- [4] J. Nicolics, G. Hanreich, G. Stangl; Investigation of the Thermal Performance of Micro-Wrinkle Structured Silicon Heatspreaders for Power Devices; *Proc. of 22nd International Conference on Microelectronics MIEL 2000*, Niš, Serbia, Vol 2., pp. 671-674, 14-17 May, 2000.